

МИНИСТЕРСТВО ОБРАЗОВАНИЯ И НАУКИ РОССИЙСКОЙ ФЕДЕРАЦИИ

ГОСУДАРСТВЕННОЕ ОБРАЗОВАТЕЛЬНОЕ УЧРЕЖДЕНИЕ
ВЫСШЕГО ПРОФЕССИОНАЛЬНОГО ОБРАЗОВАНИЯ
МОСКОВСКИЙ ФИЗИКО-ТЕХНИЧЕСКИЙ ИНСТИТУТ
(ГОСУДАРСТВЕННЫЙ УНИВЕРСИТЕТ)

ФАКУЛЬТЕТ ИННОВАЦИЙ И ВЫСОКИХ ТЕХНОЛОГИЙ
КАФЕДРА КОМПЬЮТЕРНОЙ ЛИНГВИСТИКИ

ВЫПУСКНАЯ КВАЛИФИКАЦИОННАЯ РАБОТА
(БАКАЛАВРСКАЯ РАБОТА)

по направлению 01.03.02 «Прикладная математика и информатика»

Японский. Буквенные n-граммы для распознавания

Студент

Куликов А.В.

Научный руководитель

Андрианов А.И.

Москва, 2017

Оглавление

Введение	3
1 Постановка задачи	5
1.1 Обзор японского языка	6
1.2 Путающиеся символы в японском	8
1.3 Формальная постановка задачи	8
2 Обзор источников	10
3 Описание моделей оценивания текста	11
3.1 N -граммные модели с фиксированным n	11
3.2 Backoff-модель	12
3.3 Модель Катца (Katz)	12
3.4 TODO: Maybe Kneser-Ney	12
4 Описание эксперимента	13
4.1 Корпус	13
4.2 TODO: Zipf	13
4.3 Генератор шума и режимы его работы	15
4.4 Baseline эксперимента	17
5 Реализация модели	19
5.1 Общее окружение: nltk, pygtrie	19
5.2 Полезные утилиты	19
5.3 Пример работы и статистик	19
6 Результаты эксперимента	20
7 Анализ результатов	21
8 Заключение	22
Список литературы	23

Введение

История попыток распознать текст началась более века назад. В 1914 году Эмануэль Гольдберг разработал устройство, которое считывало символы и транслировало их в телеграфный код. Примерно в то же время ирландский химик Эдмунд Фурнье д'Альбе создал и запатентовал «оптофон» — прибор, умеющий переводить написанное в систему звуков, различающихся по высоте. Оптофон предназначался для того, чтобы слепые могли «читать».

В 1929 году Густав Таушек (Gustav Tauschek) разработал метод оптического распознавания текста. Машина Таушека представляла собой механическое устройство, которое использовало шрифтовые шаблоны и фотодетектор. Он запатентовал своё изобретение сначала в Германии, а позднее и в США, в 1935 году. Это и положило начало проблеме качественного оптического распознавания символов (Optical Character Recognition, OCR).

Коммерческое производство подобных машин было налажено уже в 1950-х, после войны. Используя наработки военных, производители OCR-машин продвигались всё дальше, увеличивая применимость технологии и качество распознавания.

Постепенно появлялись как универсальные OCR-программы (ABBY FineReader, Adobe Acrobat), так и специализированные для конкретной области (SmartScore для нотной записи, Persian Reader для фарси и т.д.). При этом точность в задаче распознавания напечатанных латинских символов достигла 99%-100% качества, в то время как корректное распознавание рукописного текста или текста, написанного в другом алфавите, до сих пор является темой множества исследований. Особняком стоит задача распознавания текста на восточных языках (китайский, японский, корейский, ...), из-за большого размера алфавита в этих языках.

Настоящая работа представляет собой сравнение некоторых методов машинного обучения для исправления ошибок распознавания текста в японском языке.

Спектр способов, которыми можно решать проблему автоматического

исправления ошибок, довольно широк, и включает в себя различные вариации n -граммных методов (n -gram models), использование нейросетей (Neural Networks, NN), скрытых моделей Маркова (Hidden Markov Models, НММ) и прочих методов машинного обучения. Более подробный обзор основных современных подходов можно найти в [1].

Среди возможных решений использование n -граммных моделей занимает особую нишу из-за относительной прозрачности и интуитивности принципов работы, и в то же время достаточно широких возможностей по настройке алгоритма.

Подход, предложенный в [2], использует n -граммные модели, а также различные алгоритмы сглаживания для исправления опечаток, опираясь на словное деление текста.

В работе [3] также даются эвристики для определения границ слов, использующие граф линейного деления (ГЛД). Эти границы слов затем используются в n -граммной модели в качестве вспомогательного контекста.

Более подробно эти и другие подходы разобраны в соответствующем разделе (2).

Данное исследование призвано рассмотреть некоторые из n -граммных моделей и сравнить их эффективность в задаче исправления опечаток в японском языке.

Актуальным приложением этой работы является система распознавания восточных языков в ABBYY FineReader.

1 Постановка задачи

Определение 1.0.1. *Оптическое распознавание символов (Optical Character Recognition, OCR)* – процесс считывания текста с физического носителя и его сохранения в цифровом формате. Текст состоит из *символов*.

Определение 1.0.2. *Ошибка OCR* – случай, когда очередной символ текста распознан неверно или не распознан. Ведёт к понижению качества распознавания.

Определение 1.0.3. *N-грамма* – последовательность из n элементов (слов, звуков, символов). Анализируя их частотности, можно строить модели для анализа и синтеза языка.

Определение 1.0.4. *N-граммная модель* – вероятностная модель языка, которая рассчитывает вероятность последнего элемента n -граммы, если известны все предыдущие.

При использовании n -граммных моделей предполагается, что появление каждого элемента зависит только от предыдущих элементов.

Цель работы – сравнить эффективность различных символьных n -граммных моделей в задаче исправления ошибок OCR в японском языке.

Из цели работы вытекают следующие **задачи**:

- Рассмотреть существующие подходы к n -граммному моделированию японского языка;
- Реализовать некоторые модели;
- Развернуть систему для тестирования и сравнения моделей.

Чтобы понять специфику цели работы, нужно учесть особенности японского языка.

Очевидно, что устройство японского языка на уровне конкретных символов сложнее, чем устройство языков латино-романской группы (в которых существует всего 25-40 символов, учитывая возможную диакритику).

1.1 Обзор японского языка

Письменный японский текст – это комбинация слогово-фонетических символов (кана) и иероглифов (кандзи). Слоговая азбука кана делится на катакану и хирагану, которые представляют собой разные графические формы одних и тех же слогов. **TODO: сказать, почему забиваем на окуригану и т.д.**

Рассмотрим эти символы подробнее:

- Хирагана (см. Рис. 1), символы более округлые, чем в катакане. В основном используется для образования грамматических морфем.

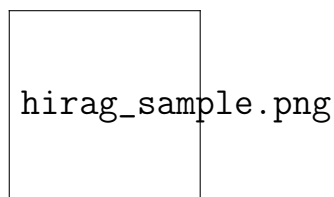


Рис. 1: hirag_sample

- Катаканга (см. Рис. 2), символы более резкие, чем в хирагане. Используется для транскрибирования иностранных заимствованных слов **TODO: примеры :).**

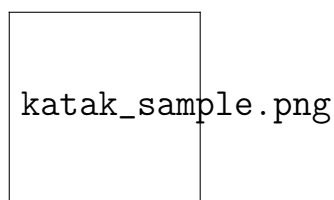


Рис. 2: katak_sample

- Также есть диакритические символы – дакутен, хандакутен (**TODO: ?**) (см. Рис. 3). Они могут применяться как к катакане, так и к хирагане, и определённым образом влияют на звучание слогов.

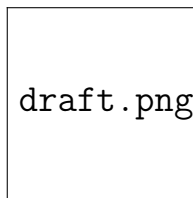


Рис. 3: dakut_sample

- Кандзи (см. Рис. 4). Это символы, несущие семантическую нагрузку. С точки зрения написания иероглифы можно поделить на пиктограммы, идеограммы и фонограммы **TODO: ?**.

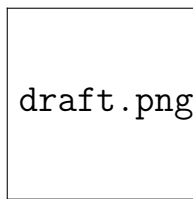


Рис. 4: kandji_sample

Кана различает 46 слогов, которые могут записываться как катаканой, так и хираганой. А вот иероглифов кандзи существует гораздо больше (6000 достаточно для жизни, а стандарт Unicode определяет 21000) **TODO: цифры**.

Японский текст записывается с помощью комбинаций кандзи, кан и пунктуации, при этом отсутствует пробельное деление предложений на слова (см. Рис. 5).

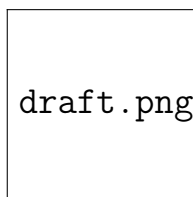


Рис. 5: japtext

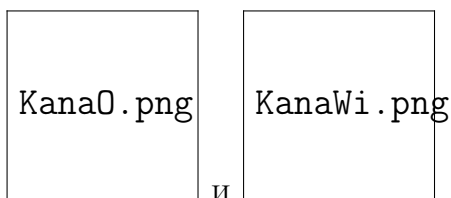
По сравнению с латино-романскими языками, где алфавит меньше в сотни раз, а деление текста на слова очевидно, задача корректного распознавания символов становится значительно сложнее. Это требует более

изопрѐнных подходов для автоматического анализа распознанного текста и поиска ошибок в нём.

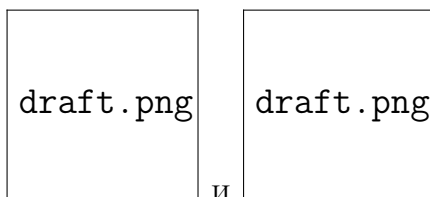
Рассмотрим несколько примеров символов, которые легко спутать.

1.2 Путающиеся символы в японском

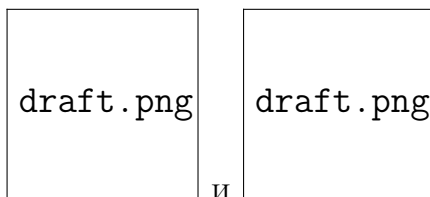
2Kana 2 похожие каны. Таким случаев достаточно мало, а методы их различения уже существуют.



KaGa Кана может легко путаться с соответствующим её дакутен-символом.



BigSmall Существуют большие и маленькие каны, которые нужно различать.



TODO: HalfWidth?

1.3 Формальная постановка задачи

Определение 1.3.1. *Алфавит* $\Sigma = \{a, b, c, \dots\}$ – множество символов в данном языке. В японском языке их около 80000, стандарт Unicode поддерживает примерно 21000.

Определение 1.3.2. Текст $Text \in \Sigma^+$ – последовательность символов из алфавита Σ положительной длины.

Определение 1.3.3. Текст делится на конечное множество *предложений* $S = \{S_1, S_2, S_3, \dots\}$ знаками пунктуации и форматированием. $Text = S_1 S_2 S_3 \dots$

Для каждого из предложения текста существует единственно верный вариант написания **TODO: а что делаем с омонимией?**, а также некоторое (фиксированное) число неверных. Требуется ответить, какой из вариантов верен.

Определение 1.3.4. *Оценивающий алгоритм (estimator)* $\Theta : S \rightarrow \mathbb{R}^+$ – функция, возвращающая оценку правильности варианта S .

Среди k вариантов предложения выбирается наилучший: $S_{best} = \underset{S}{\operatorname{argmax}} \Theta(S)$, который и считается правильным.

Если S_{best} угадано верно, то на данном предложении алгоритм Θ отработал правильно.

Определение 1.3.5. *Качество алгоритма* $Q(\Theta) = \frac{\#\{\text{угаданных предложений}\}}{\#\{\text{всего предложений}\}}.$

Задача – реализовать ряд оценивающих алгоритмов (см. раздел 3), основанных на n -граммных моделях, и сравнить их по качеству.

2 Обзор источников

- Banerjee.
- Nagata - actual
- Nagata - old

3 Описание моделей оценивания текста

Перед обучением моделей корпус разбивается на независимые и гомогенные части: обучающую и тестовую выборки. Обучающая выборка используется для обучения модели, тестовая – для проверки качества обучения и, собственно, оценки модели.

В работе рассматриваются следующие модели:

- n -граммные с фиксированным n , $n \in \{1, 2, 3\}$
- Вскофф-модель, $n_{max} \in \{3, 5, 7\}$
- Модель Катца (Katz), $n_{max} \in \{3, 5, 7\}$

Также из-за большого размера алфавита необходимо использовать сглаживание (smoothing) для учёта символов и n -грамм, не встретившихся в обучающей выборке. Подробнее о механизме сглаживания – см. раздел 4.

3.1 N -граммные модели с фиксированным n

Обучение модели Для данного n по обучающей выборке собираются статистики по всем n -граммам. Эти статистики затем нормализуются и сериализуются для дальнейшего использования.

$$C(x_{i-n+1}, \dots, x_{i-1}, x_i)$$

Применение модели В силу простоты модели оценка n -граммы из тестовой выборки берётся напрямую из собранных на предыдущем этапе статистик.

$$P(x_i | x_{i-n+1}, \dots, x_{i-1}) = C(x_{i-n+1}, \dots, x_{i-1}, x_i)$$

3.2 Backoff-модель

Обучение модели Этап обучения модели практически такой же, как и в случае простой n -граммной модели, с разницей в том, что здесь собираются статистики для всех $n \leq n_{max}$.

Применение модели Идея backoff-подхода состоит в том, что при нехватке данных для оценки какой-либо n -граммы $x_{i-(n-1)} \dots x_{i-1} x_i$ постепенно уменьшается n , что позволяет увеличить общность алгоритма и оценить n -грамму по частям, но более надёжно. За счёт этого уменьшается вероятность переобучения модели на конкретных данных. [TODO: link](#)

$$P_n(x_i | x_{i-n+1}, \dots, x_{i-1}) = \begin{cases} C(x_i | x_{i-n+1}, \dots, x_{i-1}) & \text{if } C(x_i | x_{i-n+1}, \dots, x_{i-1}) > k \\ P_{n-1}(x_i | x_{i-n+2}, \dots, x_{i-1}) & \text{otherwise} \end{cases}$$

3.3 Модель Катца (Katz)

Обучение модели Этап обучения модели такой же, как и в случае backoff-модели.

Применение модели Модель Катца является улучшенной версией backoff-модели, в которой накладывается динамический дисконт (коэффициенты $d_{w_{i-n+1} \dots w_i}$ и $\alpha_{w_{i-n+1} \dots w_{i-1}}$) на оценку n -граммы в случае уменьшения n . Более подробно о модели Катца можно прочитать в [TODO: link](#)

$$P_n(w_i | w_{i-n+1} \dots w_{i-1}) = \begin{cases} d_{w_{i-n+1} \dots w_i} \frac{C(w_{i-n+1} \dots w_i)}{C(w_{i-n+1} \dots w_{i-1})} & \text{if } C(w_{i-n+1} \dots w_i) > k \\ \alpha_{w_{i-n+1} \dots w_{i-1}} P_{n-1}(w_i | w_{i-n+2} \dots w_{i-1}) & \text{otherwise} \end{cases}$$

[TODO: Рассказать про коэффициенты](#)

3.4 [TODO: Maybe Kneser-Ney](#)

4 Описание эксперимента

Для исследования способов исправлять ошибки OCR в тексте необходимо либо иметь большой корпус размеченных данных с результатами распознавания, либо как-то выкручиваться.

Пришлось выкручиваться, эмулируя ошибки OCR самостоятельно.

TODO: Описание машины – в приложение

4.1 Корпус

Для обучения и сравнения n -граммных моделей использовался корпус html-страниц с ряда японских сайтов (**TODO: Каких? Где?**) общим размером $\approx 8,5GB$.

Тексты из этого корпуса не были результатом OCR, поэтому в них не должно было быть ошибок, связанных с распознаванием. Эти тексты были признаны верными с точки зрения языка и подходящими для обучения моделей.

В рамках подготовки корпуса к эксперименту тексты были перемешаны, чтобы тематика текста не зависела от его исходного положения в корпусе, из текстов были удалены html-теги, сложное форматирование, небольшое число мусорных символов. Также корпус был единообразно переведён в кодировку Unicode. Подробнее об этих технических этапах – см. раздел 5.

После вышеперечисленных операций корпус был готов к использованию, его размер составлял $\approx 1,5GB$. При этом размер алфавита в нашем корпусе составлял ≈ 7000 символов, что в 3 раза меньше размера таблиц Unicode.

Имея данные, готовые к использованию, было бы глупо не построить по ним несколько графиков.

4.2 **TODO: Zipf**

Если посмотреть на распределение частот отдельных символов, то оно выглядело так:

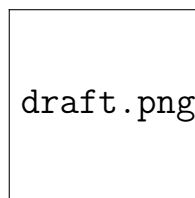


Рис. 6: 1gramstats

Видно, что распределение похоже на обратно экспоненциальное (кстати, это же утверждает закон Ципфа [TODO: link](#)). Проверим эту гипотезу, построив график обратного логарифма ([TODO: формулы](#)):

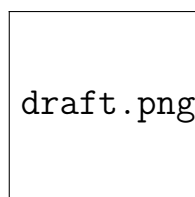


Рис. 7: zipf

Действительно, этот график с достаточной точностью ложится на прямую ([TODO: погрешности?](#)). Тем самым, в NLP закон Ципфа проверен ещё раз.

Посмотрев на Рис. 6, можно также заметить, что только очень малая часть символов появляется большое число раз. Посмотрим поближе на "голову" того же распределения:

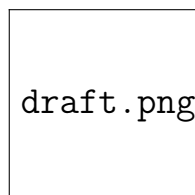


Рис. 8: 1gramstats head

Действительно, лишь ≈ 200 символов встречаются достаточно часто.

Остаток ещё примерно 6500 символов, которые входят в алфавит, но статистически мало отличаются от тех символов, что вообще не встретились в нашем корпусе. Для оптимизации времени работы и занимаемой памяти эти символы можно представить более сжато.

Определение 4.2.1. *Корзина (bucket, bucket)* – множество символов, которые считаются статистически малозначимыми и заменяются на U+FFFD (Unicode Replacement Character).

Бакет B_i характеризуется числом $|\Sigma_{B_i}|$ – размером алфавита, который остаётся после сливания некоторого хвоста распределения в бакет. Было решено рассматривать бакеты с алфавитами размером $|\Sigma_{B_i}| = \{7000, 4800, 2600, 200\}$, поскольку примерно на эти размеры алфавитов приходятся изменения в характере убывания частот символов.

На Рис. 9 схематично изображено распределение частот после применения бакета с $|\Sigma_{B_i}| = 200$.

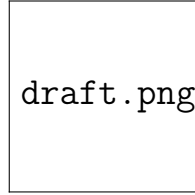


Рис. 9: bucket

Поскольку нам были недоступны корпуса текстов, распознанные какой-либо OCR машиной, было принято решение эмулировать ошибки OCR самим. Это делалось при помощи генератора шума.

4.3 Генератор шума и режимы его работы

Определение 4.3.1. *Шум Noise* = $\{(a_1, a_2), (b_1, b_2, b_3), (c_1, c_2), \dots\}$ – множество наборов символов алфавита Σ , которые легко спутать при распознавании. Конкретные шумы определяются эмпирически.

Для эмуляции ошибок OCR был разработан скрипт – генератор шума. Он параметризуется конкретным шумом и частотой его применения.

Определение 4.3.2. *Генератор шума* – настраиваемый скрипт, который принимает эталонное предложение S , находит в нём символы-представители наборов конкретного шума $x \in S \mid \exists \xi = \{\xi_1, \xi_2, \dots, \xi_l\} \in Noise : x \in \xi$, и случайным образом меняет эти символы x на "шумовые" из соответствующего набора ξ .

С помощью шума *Noise* случайным образом генерируются ошибки в предложениях текста *Text*. Таким образом происходит стохастическая эмуляция ошибок OCR.

Тестовая часть корпуса была разбита на предложения (см. формальную постановку задачи в разделе 1), которые независимо друг от друга зашумлялись. Эти предложения после зашумления подавались на вход оценивающему алгоритму Θ , который выбирал лучший из предложенных вариантов.

Были определены следующие шумы, обоснование выбора см. в разделе 1:

KaGa Наборы символов, соответствующие добавлению диакритики. Например,

かが	しじ	たな
きぎ	すず	だな
くぐ	ふぶふ	んだ
けげ	そぞ	ちち
こご	ただ	つづ
さざ	なに	ほぼほ

HalfWidth Полуширинные/полноширинная катакана:

ヲヲ	ヤヤ	イイ
アア	ユユ	ウウ
イイ	ヨヨ	エエ
ウウ	ツツ	オオ
エエ	ー	カカ
オオ	アア	キキ

BigSmall Большие/маленькие написания букв:

ああ	ええ	やや
いい	おお	ゆゆ
うう	つつ	よよ

わわ	イイ	エエ
アア	ウウ	オオ

Mix Комбинация предыдущих режимов.

かか	ユユ	イイ
きぎ	ヨヨ	ウウ
くぐ	ツツ	エエ
けけ	ー	オオ
ここ	アア	
ヤヤ	アア	

TODO: Срез шума в Цифре – график

Интересно понимать, как выглядит результат работы генератора шума.

Предположим, на вход генератору было дано следующее предложение:

キャンペーンは終了致しました。

Тогда для различных шумов и режима "1 символ на предложение" получались такие результаты, которые затем фиксировались.

Шум	Текст (пер. с яп. Campaign has ended)
Эталон	キャンペーンは終了致しました。
KaGa	ギャンペーン は 終了致しました。
HalfWidth	キャンペ - ンは終了致しました。
BigSmall	キ ヤ ンペーンは終了致しました。
Mix	ギ ャンペーンは終了致しました。

4.4 Baseline эксперимента

В качестве бейзлайна эксперимента была выбрана униграммная модель ($n = 1$).

Для разных шумов она показала следующие результаты, $|\Sigma_{B_i}| = 4800$:

Шум	Оценка модели
KaGa	0.70
HalfWidth	0.71
BigSmall	0.77
Mix	

TODO: достать и добавить результаты для остальных бакетов

5 Реализация модели

5.1 Общее окружение: nltk, pygtrie

5.2 Полезные утилиты

TODO: pickle

TODO: UnicodeDammit

TODO: dot

5.3 Пример работы и статистик

TODO: Разобрать предложение и пройтись по этапам визуализации результата (до svg-картинки с траем).

6 Результаты эксперимента

Сравнение моделей для различных шумов, циферки.

7 Анализ результатов

8 Заключение

Литература

- [1] *Soumendu Das et al.* Survey of Pattern Recognition Approaches in Japanese Character Recognition // (IJCSIT) International Journal of Computer Science and Information Technologies, Vol. 5(1), 2014. P. 93 - 99.
- [2] *Nagata, Masaaki* Japanese OCR Error Correction using Character Shape Similarity and Statistical Language Model // Proceedings of the 17th International Conference on Computational Linguistics - Volume 2, 1998. P. 922 - 928.
- [3] *Nagata, Masaaki* Context-based Spelling Correction for Japanese OCR // Proceedings of the 16th Conference on Computational Linguistics - Volume 2, 1996. P. 806 - 811.
- [4] Pygtrie documentation [Электронный ресурс].
URL: <http://pygtrie.readthedocs.io/en/latest/> – 2014